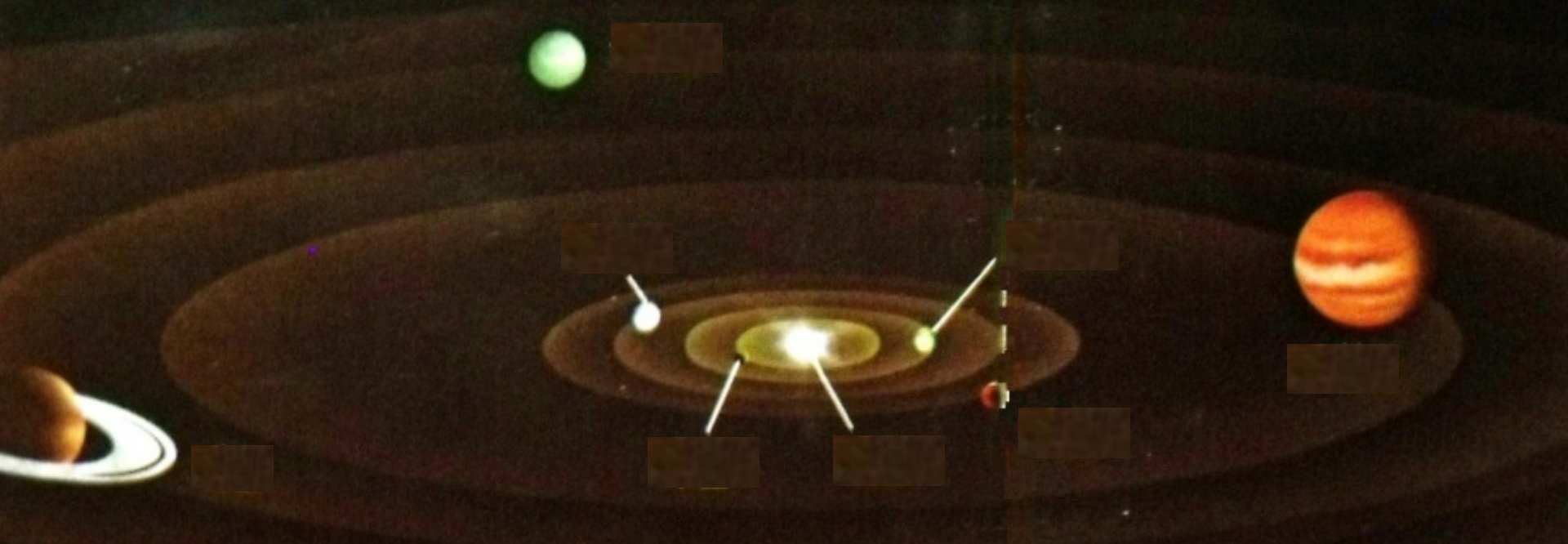


衛星系研究会 平成25年8月7~9日 定山溪温泉 溪流荘(札幌)

高軌道傾斜角を持つ三体系の階層安定性



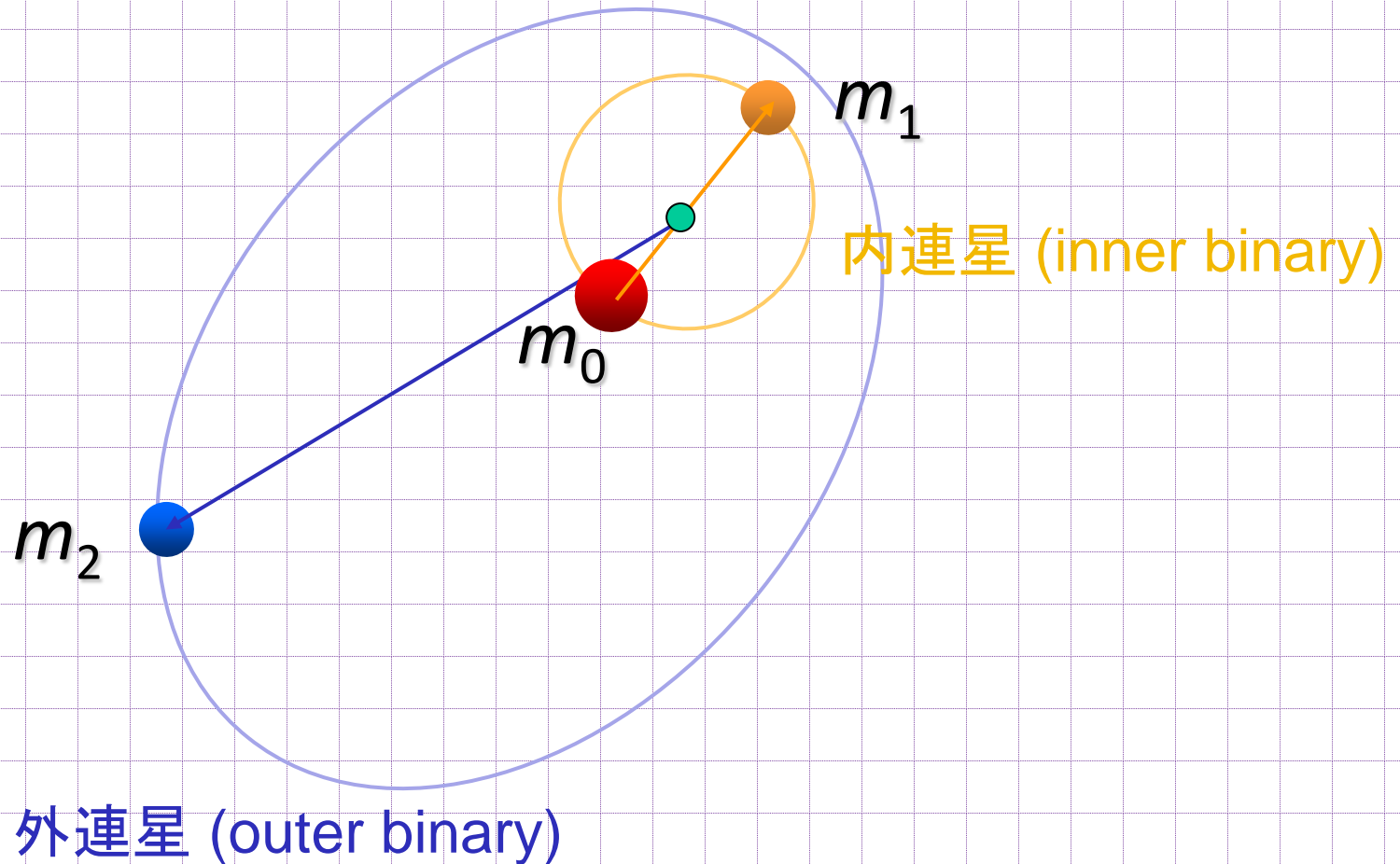
齋藤 正也 (統計数理研究所)

Виктор В. Орлов (Санкт-Петербургский государственный университет)

谷川 清隆 (国立天文台)

階層三体系

2つの交叉しない楕円軌道で近似できる三体系



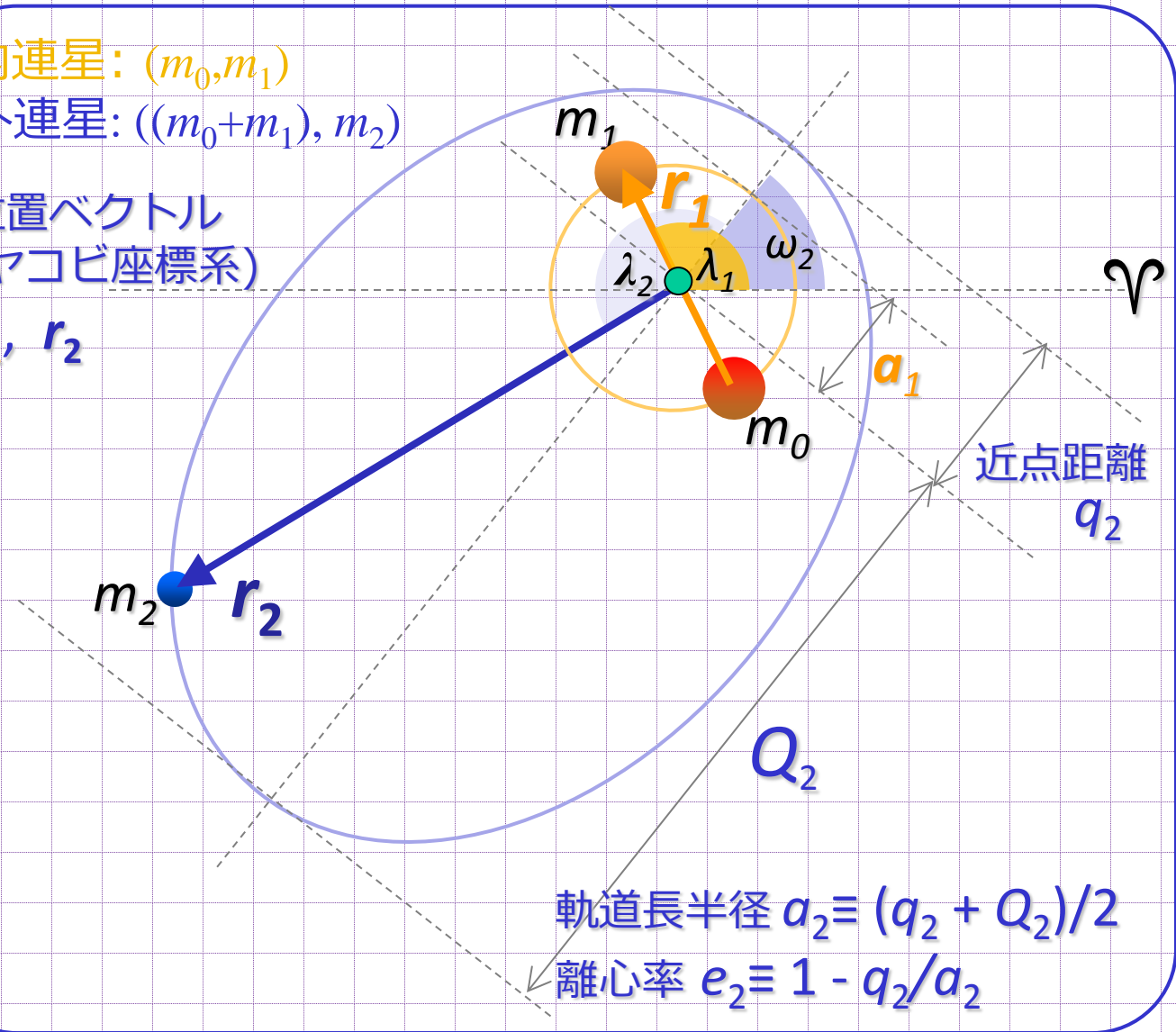
軌道要素

内連星: (m_0, m_1)

外連星: $((m_0+m_1), m_2)$

位置ベクトル
(ヤコビ座標系)

r_1, r_2



軌道要素

相互傾斜角 I

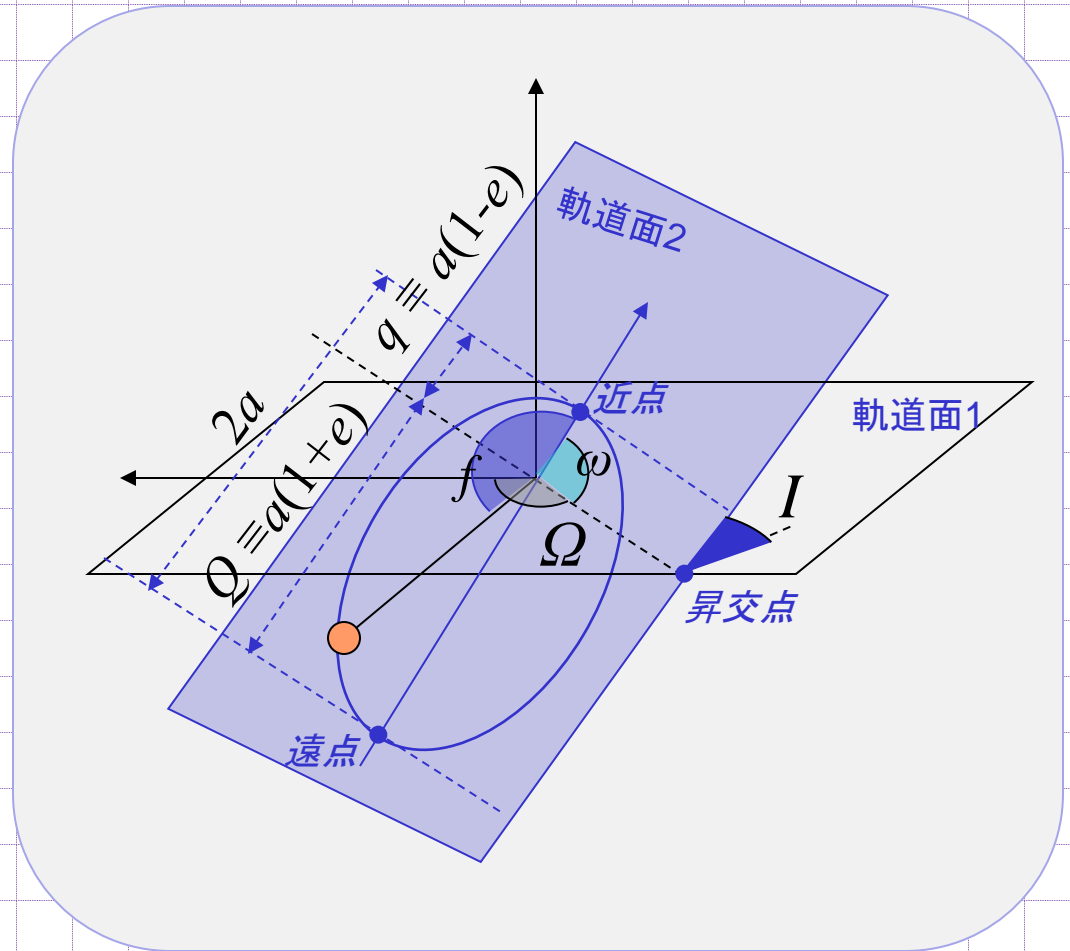
昇交点經度 Ω

軌道長半徑 a

離心率 e

近点引数 ω

真近点角 f



運動方程式 (ヤコビ座標系)

運動方程式

$$H = \frac{p_1^2}{2\mu_1^*} - \frac{\mu_1\mu_1^*}{r_1} + \frac{p_2^2}{2\mu_2^*} - \frac{\mu_2\mu_2^*}{r_2} + R$$

$$R = \frac{\mu_2\mu_2^*}{r_2} - \frac{Gm_2m_0}{|\rho_2 - \rho_0|} - \frac{Gm_2m_1}{|\rho_2 - \rho_1|},$$

$$dq_j/dt = \partial H/\partial p_j, \quad dp_j/dt = -\partial H/\partial q_j \quad (j=1, 2)$$

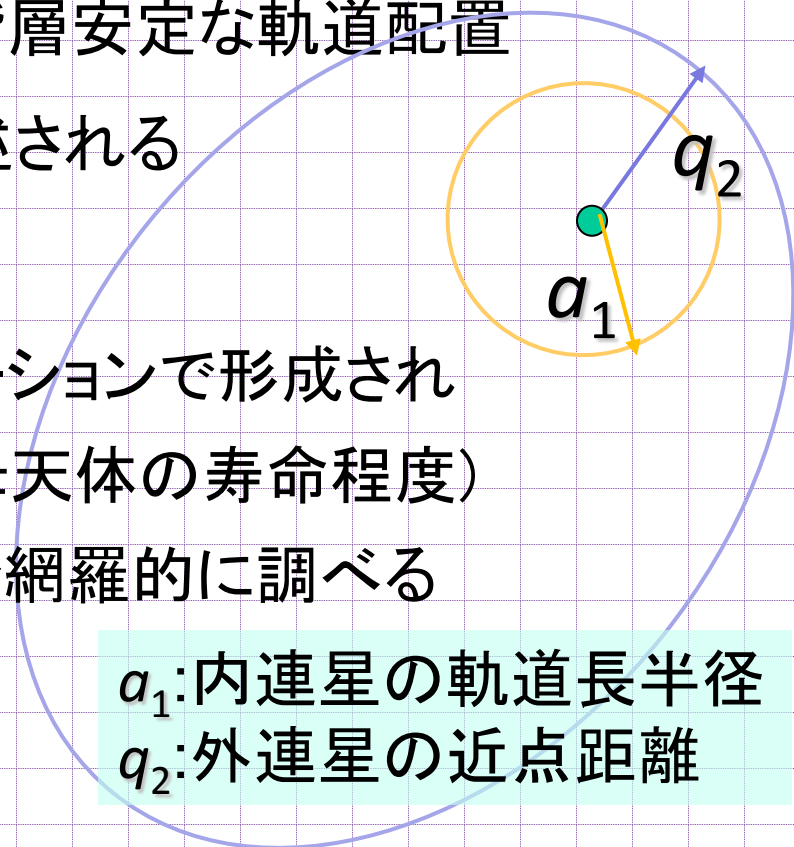
ヤコビ系 (r_j, p_j) ($j=1,2$) と慣性系 (ρ_i, π_i) ($i=1,2,3$) との対応

$$\mu_j = \mu_{j-1} + m_j, \quad 1/\mu_j^* = 1/\mu_{j-1} + 1/m_j,$$

$${}^g\rho_j = (\mu_{j-1} {}^g\rho_{j-1} + m_j \rho_j) / \mu_j, \quad r_j = \rho_j - {}^g\rho_j,$$

階層安定

- 階層安定
 - 天体の順序の入れ替わりや、系の分裂が起きないこと
- (階層)安定限界
 - 内外の連星が最も接近した階層安定な軌道配置
 - 一般に q_2/a_1 の下限として記述される
- ねらい
 - 観測された、またはシミュレーションで形成された、惑星系・連星系が長期間(母天体の寿命程度)に相続するかを軽量なモデルで網羅的に調べる



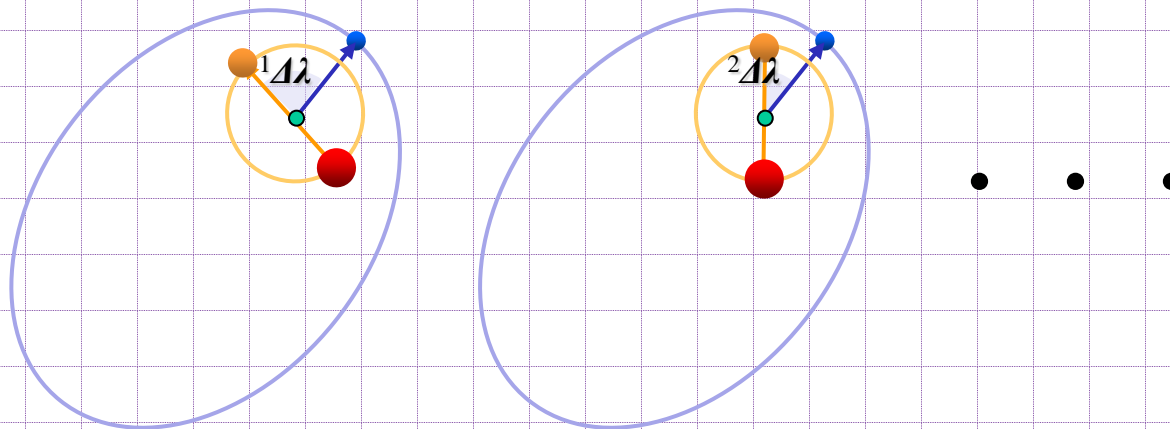
a_1 :内連星の軌道長半径
 q_2 :外連星の近点距離

安定限界を策定する試み

- ヒル安定性 (Golubev 1968, Marchal & Saari 1975; Marchal & Bozis 1982; ...): m_0, m_1 の運動可能領域と m_3 の運動可能領域とが分離されている。制限三体問題 ($m_3 = 0$) の同様の概念の拡張。
- 数値計算 (Harrington 1977, Pilat-Lohinger & Dvorak 2003, **Holman & Wiegert 1999**): ヒル安定限界はあまり実用的でない。ヒル安定かつ脱出可能な領域は小さくない。ある決まった時間積分し、その間に脱出などの軌道不安定が発生するかどうか観察する。
- ランダムウォーク近似 (Orlov et al., 2008):
- 共鳴重合 (Chirikov 1979, Wisdom 1980, **Mydryk & Wu 2006**)
- **赤字は制限三体問題**。一般三体で三次元の計算はすくない (ex. Georgakarakos 2012, $e_1 = e_2 = 0$ だが多数の質量比)

ランダムウォーク近似 (Orlov et al. 2008)

- 1周ごとの軌道要素の変化は、近点通過時の離角 $\Delta\lambda$ に依存し、についての平均は0である (摂動論)。
- しかし、毎週の $\Delta\lambda$ の実現はランダムと見てよい(物理的直観)
 - 軌道要素は、ランダムウォークに従うと仮定することになる。



- 10000周の間の軌道要素の変化が0.1%以下ならば階層安定と見なす

$$\left(\frac{q_2}{a_1}\right)_{\text{st}} = 3 \left(1 + \frac{m_2}{m_0 + m_1}\right)^{1/3} \left(\frac{7}{4} + \frac{1}{2} \cos I - \cos^2 I\right)^{1/3} (1 - e_2)^{-1/6}$$

平均運動共鳴と共鳴重合

- 平均運動共鳴: 公転周期の比が整数になる(k_1, k_2 を整数として、 $k_1\dot{\lambda}_1 + k_2\dot{\lambda}_2 \approx 0$) 場合。軌道長半径比上に離散的に出現する。

- 摂動ポテンシャル R の展開

$$R = \sum_k A_k(a, e, I) \cos \psi_k, \quad \text{臨界引数 } \psi_k = k_1\lambda_1 + k_2\lambda + k_3\varpi_1 + k_4\varpi_2$$

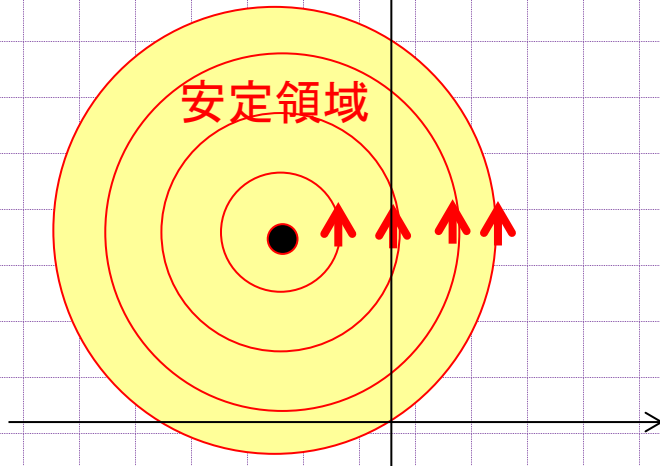
(ただし、 $k_1 + k_2 + k_3 + k_4 = 0$)

- 共鳴の近傍で、この R の下での解を摂動展開のかたちで求めることはできないが、 R の中から永年項(すべての $k_1 = k_2 = 0$ の項)とひとつの $k_1, k_2 \neq 0$ である(k_1, k_2, k_3, k_4)を抽出した R_k の下では、系は可積分となり、 $\psi_k = \text{const.}$ になる解 (周期軌道) が存在し、その解が線形安定である場合には、近傍に ψ_k が秤動する領域が広がる。

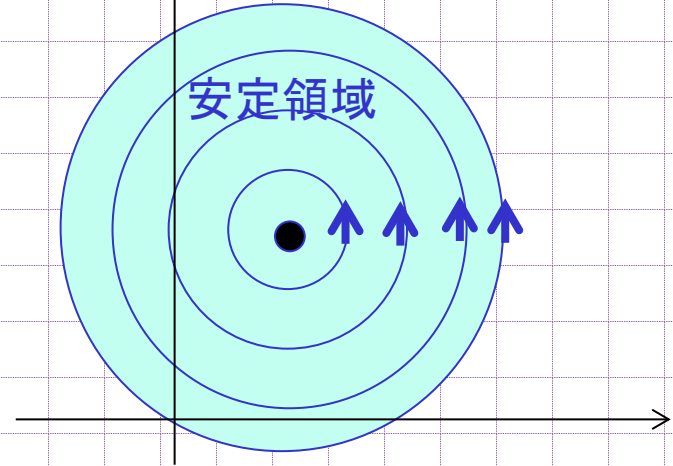
平均運動共鳴と共鳴重合

共鳴重合: カオスの発生モデル

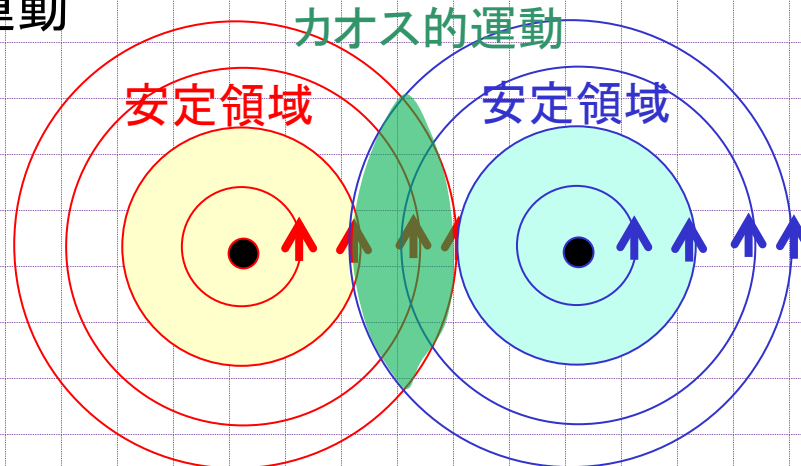
R_k の下での運動



$R_{k'}$ の下での運動



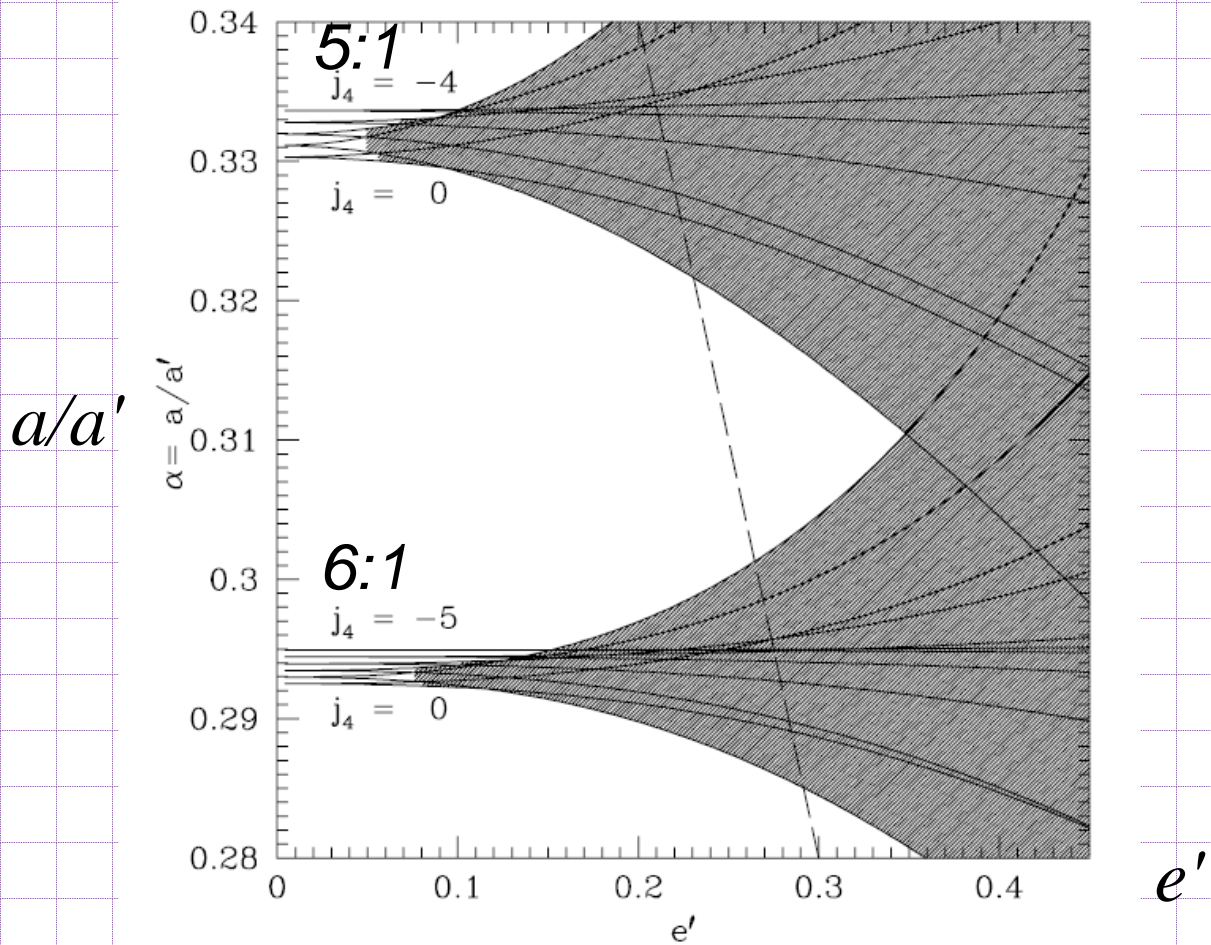
$R_k + R_{k'}$ の下での運動



安定領域が縮小し、もとの安定領域の重なり部分では運動がカオス的になる

平均運動共鳴と共鳴重合

- m_0 と m_1 がcomparableなときは、sub-resonances (k_1, k_2 を共通にする、異なる k_3, k_4 に対応する共鳴の集合)の重なりが階層安定限界をきめる (Mydryk & Wu, 2006)。



吉田(1975)の脱出条件

Outer binaryの軌道半径が単調増加するための十分条件

$$\frac{p_2}{\mu_2^*} > \sqrt{2G\mu_2 \left(\frac{\nu'}{r_2 + \nu d} + \frac{\nu}{r_2 - \nu' d} \right)} \implies \forall t. \left(\frac{dr_2}{dt} > 0 \right)$$

$$\text{ただし、 } d = \frac{\mu_1 \mu_1^*}{|H(0)|}, \quad \nu = \nu_2 = \frac{m_1}{m_0 + m_1}, \quad \nu' = \frac{m_0}{m_0 + m_1}$$

$$\left(\text{cf. 第2宇宙速度 } v = \sqrt{\frac{2GM_\oplus}{R_\oplus}} \right)$$

この条件を初めて満たす時刻 t_{esc} を「脱出時間」と呼ぶ。

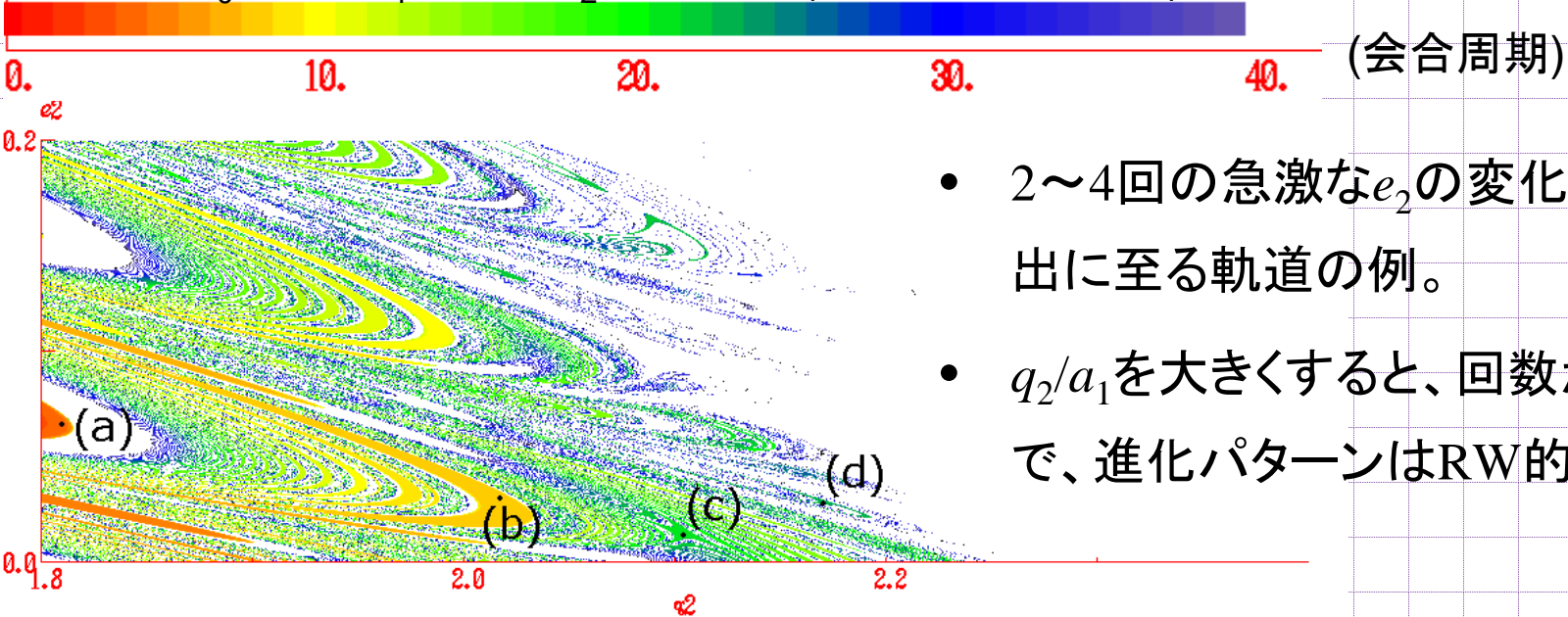
研究に利用するツール

- 数値積分 (多項式による補外法)
- 脱出 (楕円軌道+双曲軌道)の十分条件
- 脱出時間を初期値平面 (e_2, q_2) 上の分布を観察する
 - スパコンを利用した広範な初期条件の長期間の積分

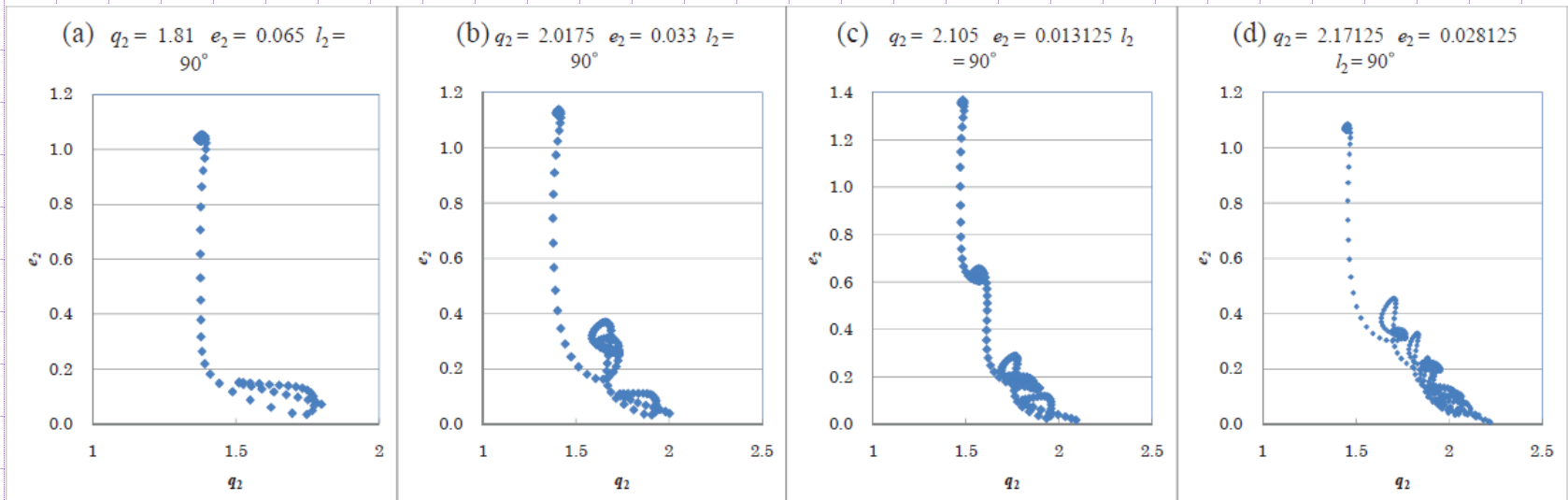
平面($I = 0$)の場合

脱出軌道の特徴 (q_2/a_1 が小さい場合)

質量比 $m_0=0.5, m_1=0.5, m_2=1/100$ (Saito et al., 2012)



- 2~4回の急激な e_2 の変化を経て、脱出に至る軌道の例。
- q_2/a_1 を大きくすると、回数が増えるので、進化パターンはRW的になる。



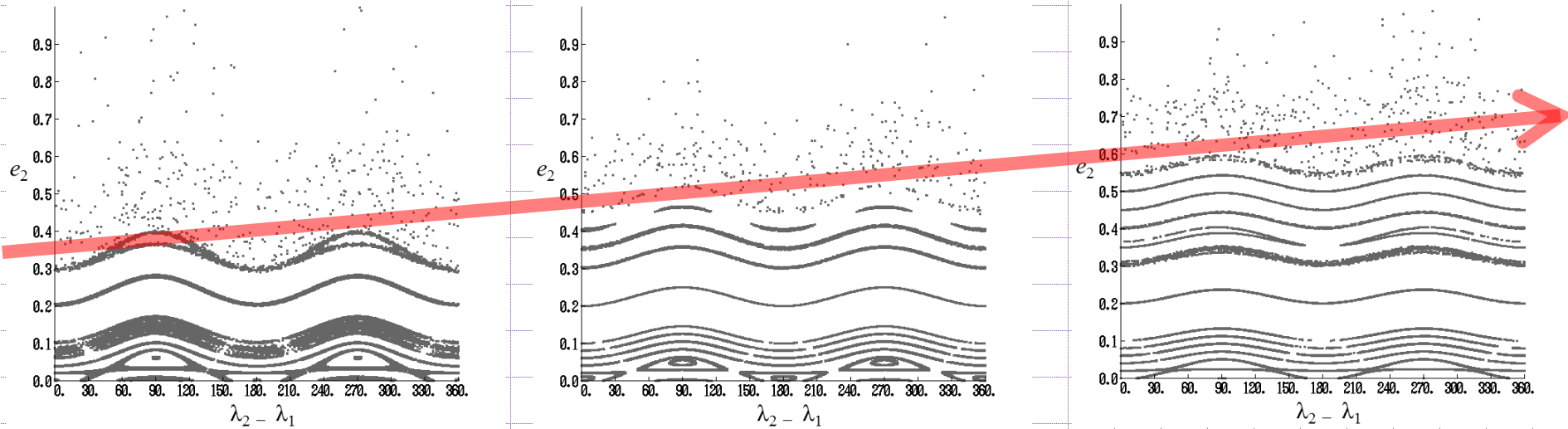
安定軌道の特徴 (q_2/a_1 が大きい場合)

質量比 $m_0=0.5, m_1=0.5, m_2=1/100$

$$q_2 = 2.4$$

$$q_2 = 2.6$$

$$q_2 = 2.8$$

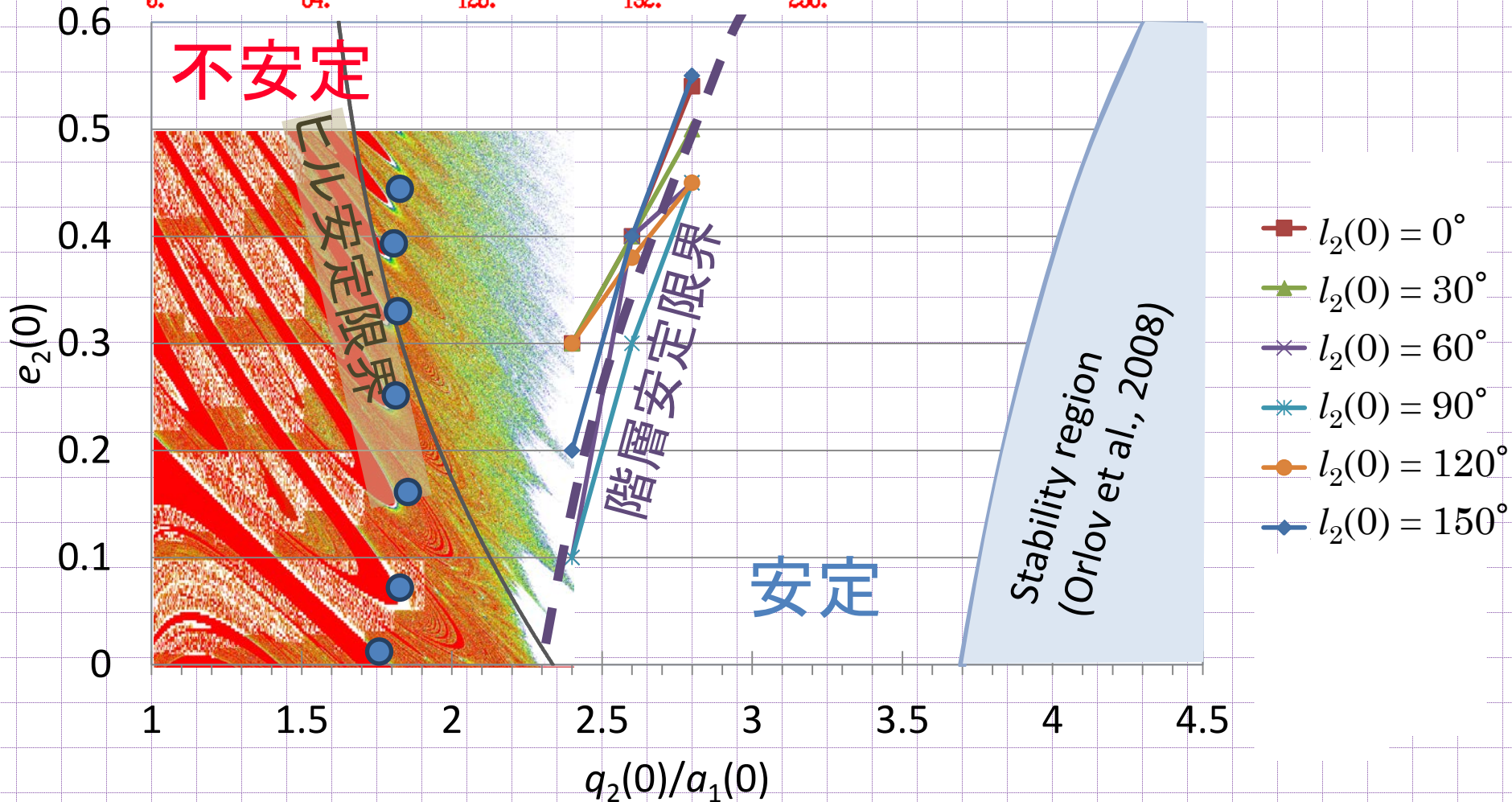


- Outer binaryが近点($f_2=0$)にいるときの軌跡
- q_2 について単調増加な臨界値 $e_{2,\text{crit}}(q_2)$ が存在する
 - $e_2 < e_{2,\text{crit}}(q_2)$ ならば、軌道は準周期的
 - $e_2 > e_{2,\text{crit}}(q_2)$ ならば、酔歩的な変動を経て $e_2 > 1$ (脱出)に至る。
- この境界を数値的な安定限界と考える。

初期値面上の構造のまとめ

質量比 $m_0=0.5$, $m_1=0.5$, $m_2=1/100$

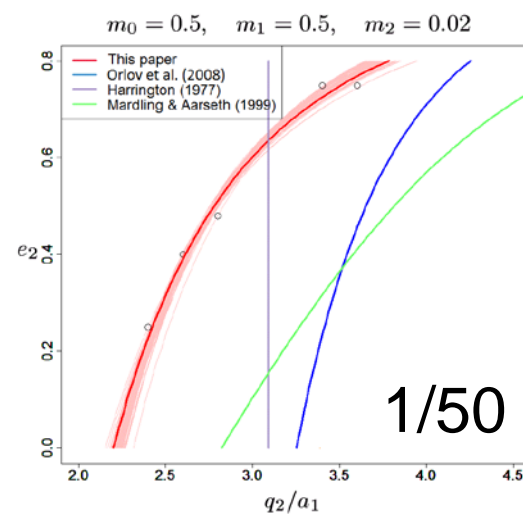
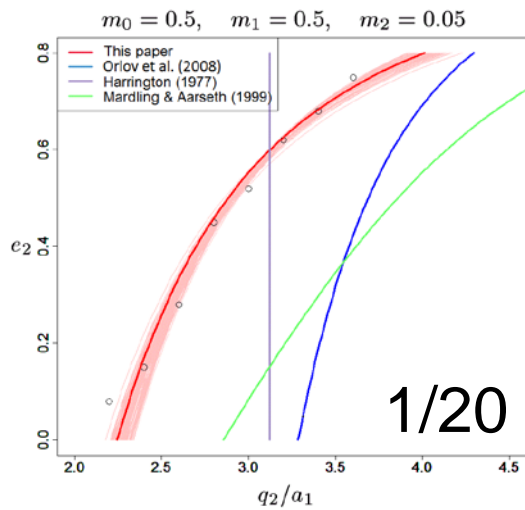
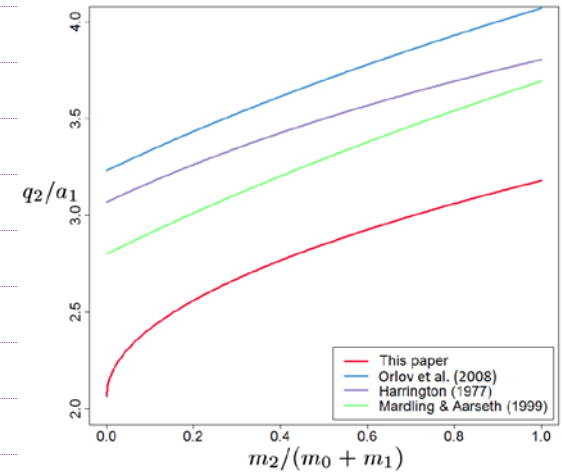
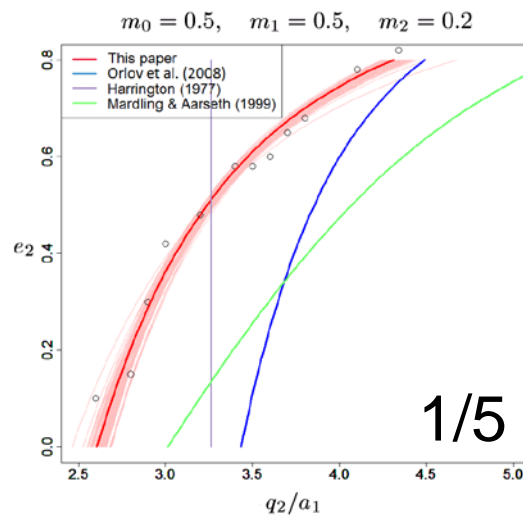
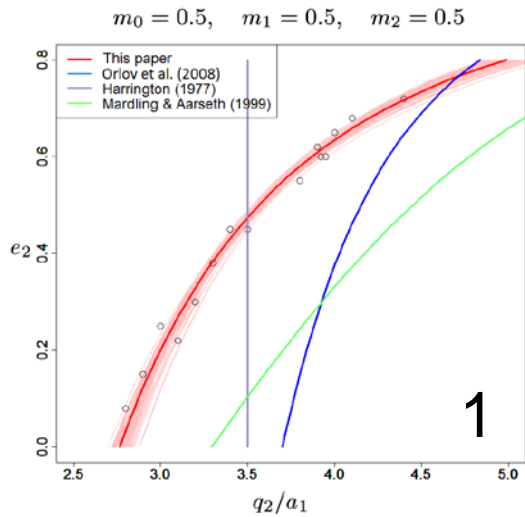
「脱出時間」(単位:会合周期。最大値の256は 10^3 単位時間程度)



他の質量比への適用

$m_2/(m_0 + m_1) = 1/5000, 1/50, 1/20, 1/10, 1/5, 1/2, 1$ (Saito et al., 2013)

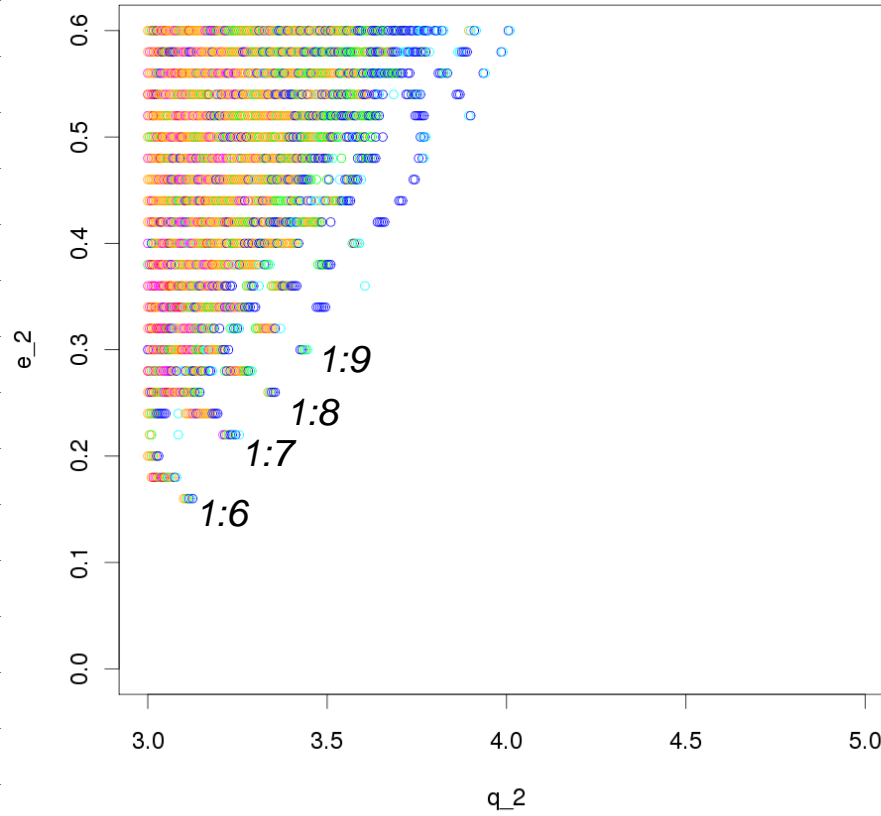
$$\left(\frac{q_2}{a_1}\right)_{\text{crit}} = \left[1.11 \left(\frac{m_2}{m_0 + m_1}\right)^{0.51} + 2.07 \right] (1 - e_2)^{-1/3}$$



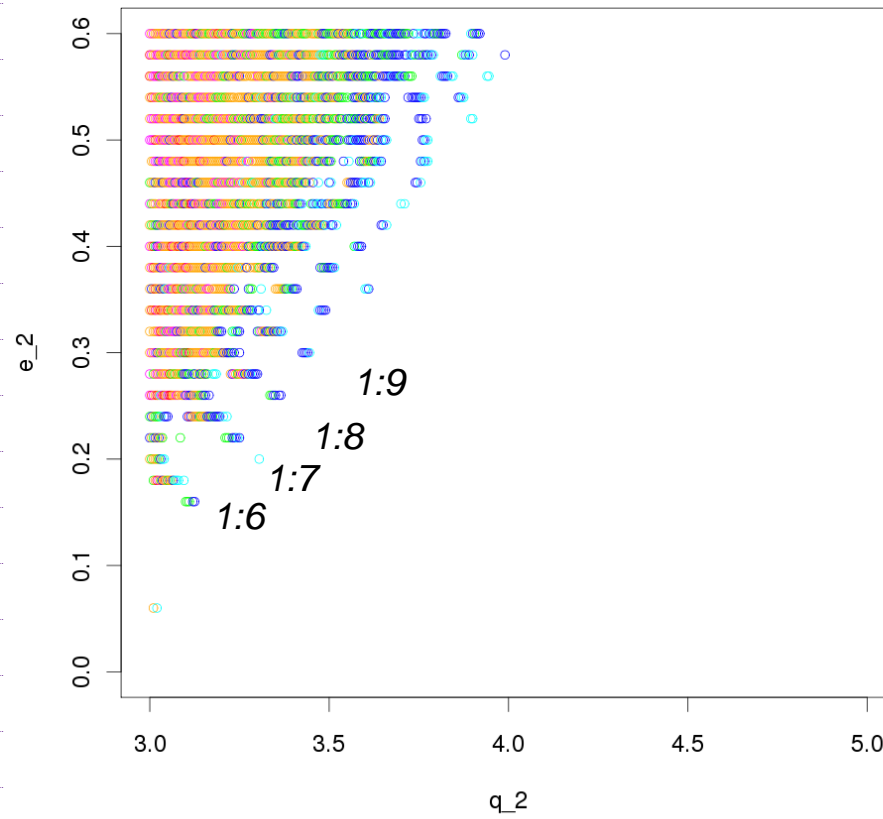
3次元($I > 0$)の場合

質量比 $m_0 = m_1 = m_2 = 1$

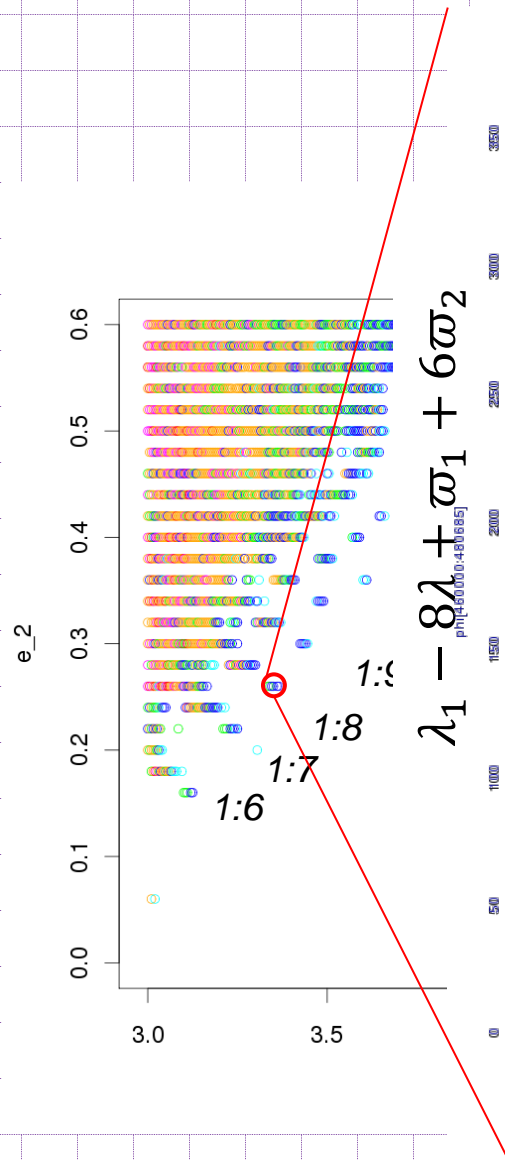
$$I=0, t_{\text{esc}} < 10^6$$



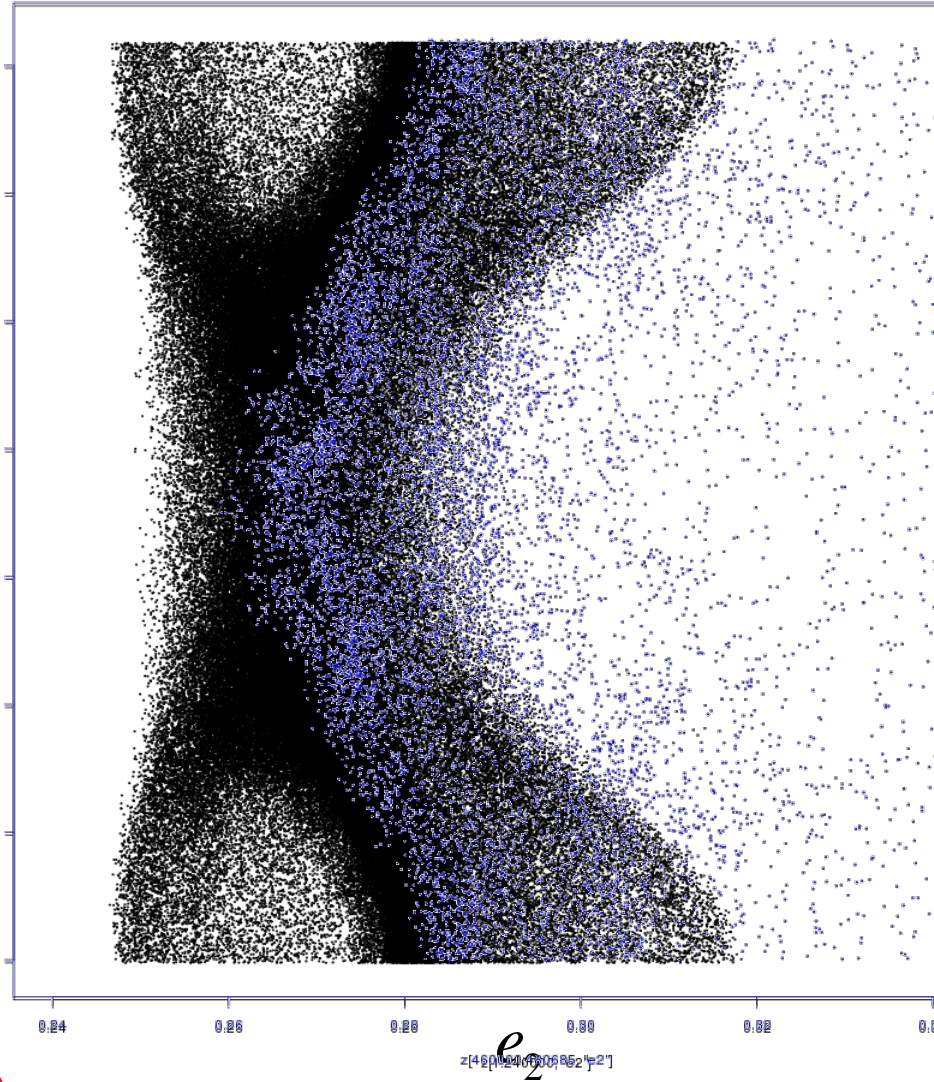
$$I=10, t_{\text{esc}} < 10^6$$



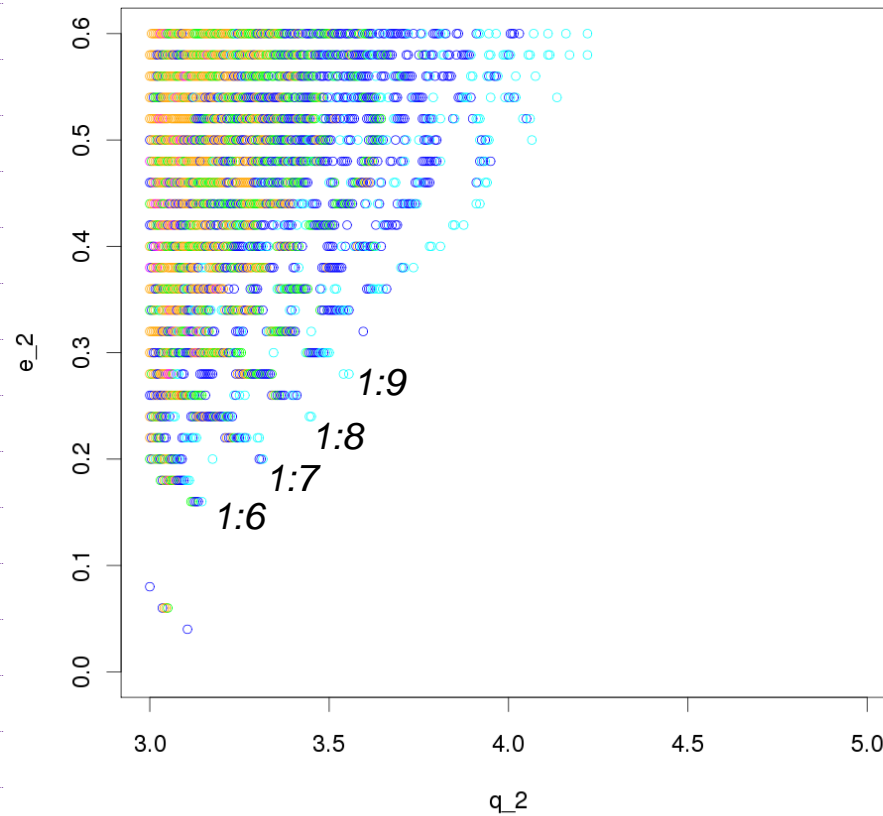
$I=10, t_{\text{esc}} < 10^6$



$t < 2.4 \times 10^5, t > 2.4 \times 10^5$

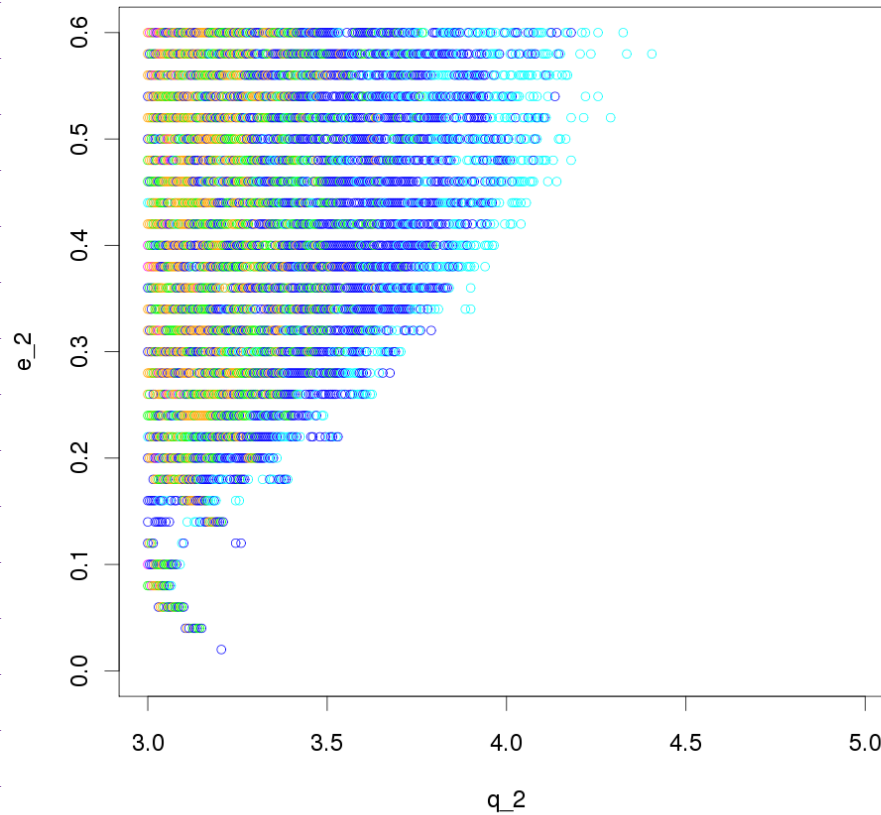


$$I=45, t_{\text{esc}} < 10^6$$



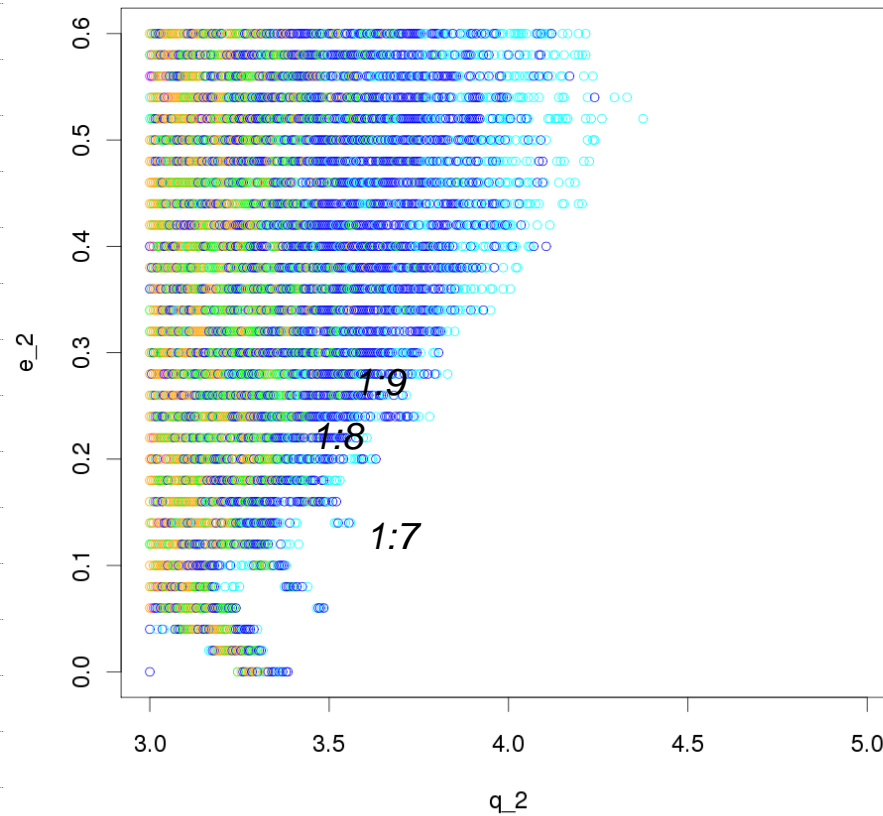
Iの増加にともない、平均運動共鳴に対応する棒状の不安定領域が拡大する

$$I=50, t_{\text{esc}} < 10^6$$



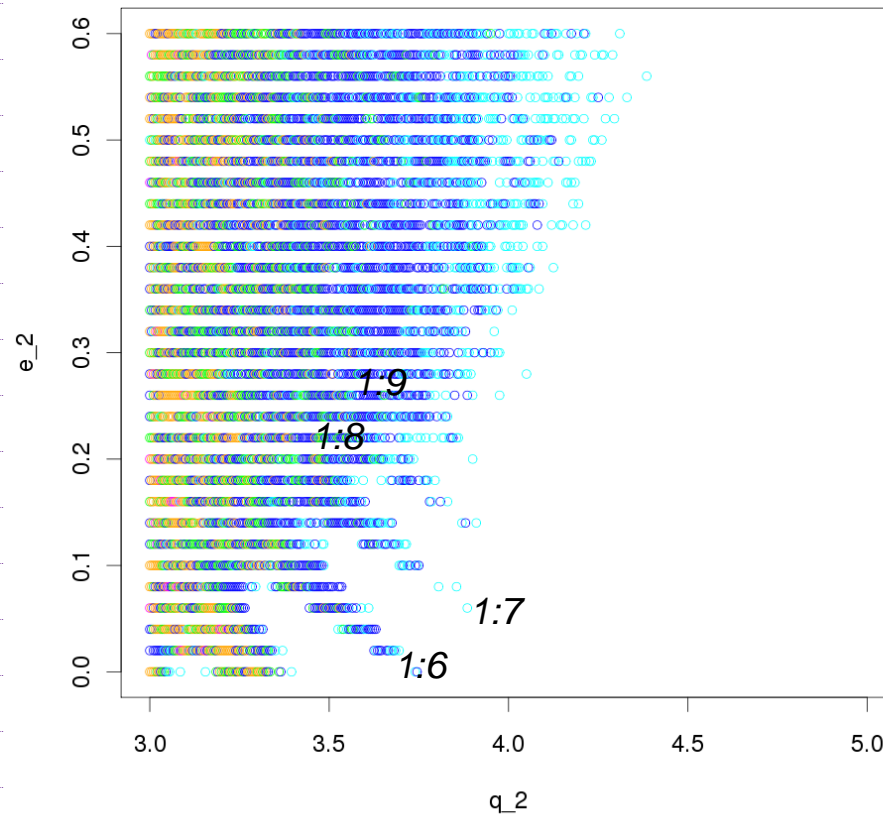
Iの増加にともない、平均運動共鳴に対応する棒状の不安定領域が拡大する

$$I=55, t_{\text{esc}} < 10^6$$



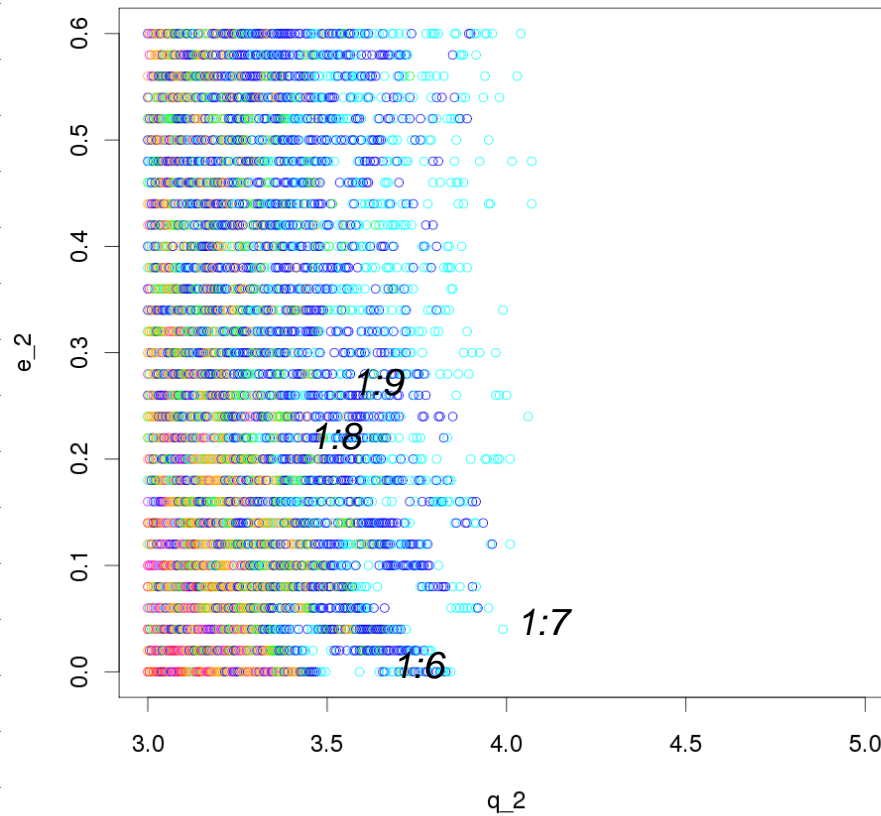
Iの増加にともない、平均運動共鳴に対応する棒状の不安定領域が拡大する

$$I=60, t_{\text{esc}} < 10^6$$



Iの増加にともない、平均運動共鳴に対応する棒状の不安定領域が拡大する

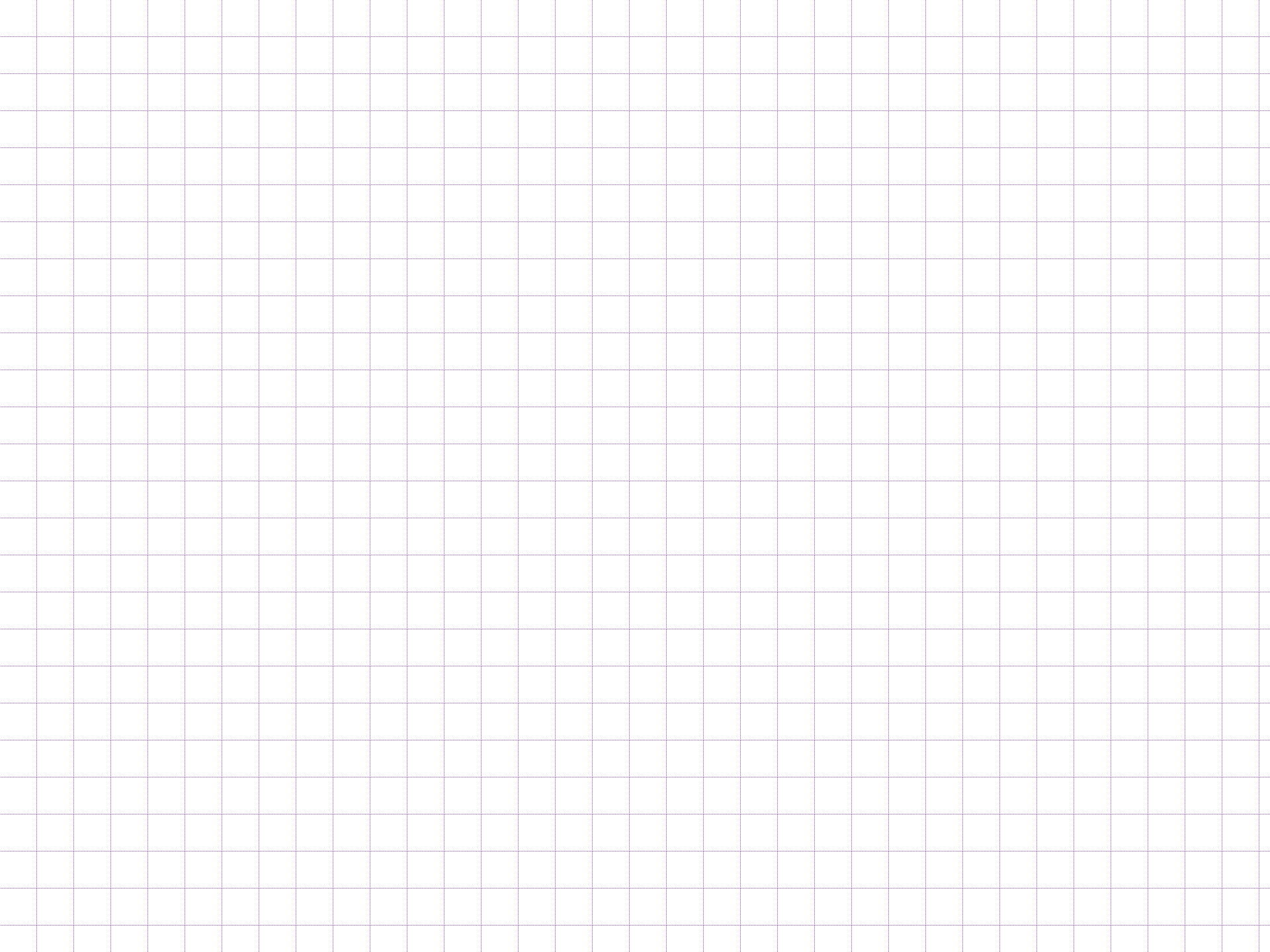
$$I=90, t_{\text{esc}} < 10^6$$



Iの増加にともない、平均運動共鳴に対応する棒状の不安定領域が拡大する

考察

- I を大きくすると、この領域は太くなる。一般に e, I が大きくなるとMMRの(a の幅で測って)stability regionが大きくなる。その結果、resonance overlapが起こる領域が拡大し、不安定領域が拡大すると解釈できる。
- Mydruk & Wu(2006)を踏まえると、ひとつひとつの「棒」はひとつの周期比に対応するMMRのsubresonances同士の重なりであろう。 $m_0 \approx m_1$ の制限三体問題よりさらに相互作用が強いので、共鳴重合はより強化されるはずである。
- I をさらに大きくすると($I > 45$)、異なる周期比のMMR同士でresonance overlapが起こり、不安定領域の本体と融合していくと解釈できる。
- 脱出に至るまでの時間の増大。数値計算の限界。



計算量

ひとつのI値に対する計算

$$N(q_2) = (5.0 - 3.0) / 0.005 = 400, N(e_2) = (1.0 - 0.0) / 0.02 = 50$$

$$N_{\text{orbit}} = 400 \times 50 = 20,000$$

$$t_{\text{orbit}} = 10\text{min} \text{ (} t_{\text{esc}} < 10^6 \text{の場合)}$$

$$N_{\text{proc}} = 512$$

$$t_{\text{run}} = t_{\text{orbit}} \times N_{\text{orbit}} / N_{\text{proc}} = 390.625\text{min} = 6.5\text{h}$$

$$\text{(cf. } t_{\text{run1}} = t_{\text{orbit}} \times N_{\text{orbit}} = 140 \text{ days)}$$